



## رنگبری و معدنی شدن رنگزای بازیک با استفاده از فرآیند نانوفتوکاتالیز: مطالعه در مقیاس پایلوت

نیاز محمد محمودی<sup>۱\*</sup>، مختار آرامی<sup>۲</sup>، کمال الدین قرنجیگ<sup>۱</sup>، فرحناز نورمحمدیان<sup>۱</sup>

۱- گروه پژوهشی مواد رنگزای آلی، پژوهشکده صنایع رنگ، تهران، ایران

۲- دانشکده مهندسی نساجی، دانشگاه صنعتی امیرکبیر، تهران، ایران

تاریخ دریافت: ۱۳۸۶/۸/۳۰ تاریخ پذیرش: ۱۳۸۶/۵/۲۲ در دسترس به صورت الکترونیکی از:



در این تحقیق، رنگبری و معدنی شدن رنگزای بازیک آبی ۴۱ با فرآیند نانوفتوکاتالیزی در حضور نانوذرات تیتانیا تثبیت شده در داخل راکتور ناپیوسته مورد بررسی قرار گرفت. فرآیند رنگبری و معدنی شدن رنگزای بازیک در مقیاس پایلوت (۱۰ لیتر) انجام شد. دستگاه‌های اسپکتروفوتومتر و یون کروماتوگراف برای بررسی جزئیات رنگبری و معدنی شدن رنگزای بازیک مورد استفاده قرار گرفتند. تأثیر عوامل مؤثر در راندمان فرآیند رنگبری از جمله غلظت آب اکسیژن، غلظت رنگزا و حضور آنیون‌ها (نیترات، کلرید، سولفات، بیکربنات و کربنات) مطالعه شد. نتایج آزمایشات نشان داد که فرآیند رنگبری از سینتیتیک مرتبه اول تعیین می‌کند. مقدار یون‌های نیترات و سولفات به عنوان محصولات فرآیند معدنی شدن رنگزا، اندازه‌گیری شدند. این تحقیق نشان داد که با بهینه‌سازی عوامل عملیاتی مؤثر، می‌توان فرآیند رنگبری و معدنی شدن رنگزای بازیک آبی ۴۱ را در مقیاس‌های بزرگ‌تر انجام داد.

واژه‌های کلیدی: نانوفتوکاتالیز، رنگبری، معدنی شدن، نانوذرات تیتانیا، مقیاس پایلوت.

## Decolorization and Mineralization of Basic Dye using Nanophotocatalysis: Pilot Scale Study

N. M. Mahmoodi\*, M. Arami, K. Gharanjig, F. Nourmohammadian

### Abstract

In this research, decolorization and mineralization of Basic Blue 41 (BB 41) were investigated by nanophotocatalytic process using immobilized titania nanoparticles in a batch photoreactor. Photocatalytic decolorization and mineralization processes of dye solutions were performed at pilot scale (10 L). To obtain the details of the photocatalytic degradation of BB 41, UV-Vis and Ion Chromatography (IC) analyses were employed. The effects of major variables governing the efficiency of the process such as  $H_2O_2$  dosage, dye concentration and anions ( $NO_3^-$ ,  $Cl^-$ ,  $SO_4^{2-}$ ,  $HCO_3^-$  and  $CO_3^{2-}$ ) were investigated. Kinetic analysis indicates that the photocatalytic decolorization rates can usually be approximated first-order model. The nitrate and sulfate anions were measured as photocatalytic mineralization products of BB 41. The results show that the employment of desired operational parameters may lead to complete decolorization and mineralization of BB 41 at pilot scale. J. Color Sci. Tech. 1(2007), 1-6. © Institute for Colorants, Paint and Coatings.

**Keyword:** Nanophotocatalysis, Decolorization, Mineralization, Titania nanoparticles, Pilot scale.

\*Corresponding author: nm\_mahmoodi@yahoo.com

فوتوكاتالیست، الکترون گرفته و از این طریق نیز رادیکال هیدروکسیل تولید نماید. رادیکال‌های هیدروکسیل تولید شده با آلاینده‌های آلی واکنش داده و اکثر آنها را به ترکیبات معدنی مانند آب، دی‌اکسید کربن و اسیدهای معدنی تبدیل می‌کنند [۸].

هدف از این تحقیق، بررسی جزئیات رنگبری و معدنی شدن رنگزای بازیک آبی ۴۱ در مقیاس پایلوت و بهینه‌سازی عوامل مؤثر در راندمان فرآیند مانند غلظت آب اکسیژنه، غلظت رنگرا و حضور آنیون‌ها به صورت نمک‌های معدنی می‌باشد.

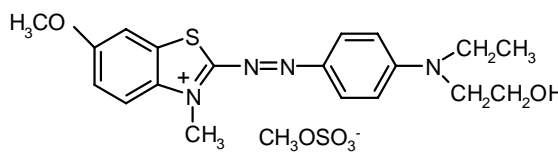
## ۲- بخش تجربی

### مواد

رنگزای بازیک آبی ۴۱ (C. I. Basic Blue 41) از شرکت بایر AG (آلمان) خریداری شد. مشخصات رنگزا در جدول ۱ و ساختار شیمیایی آن در شکل ۱ را به شده است. نانوذرات دی‌اکسید تیتانیم (دگوسا P25، ۳۰ نانومتر)، آب اکسیژنه ۳۰٪ و سایر مواد مورد استفاده با درصد خلوص آزمایشگاهی از شرکت مرک (Merck) تهیه شدند. وسایل به کار رفته در این تحقیق عبارتند از: دو عدد لامپ فرابنفش UV/Vis (از شرکت pH)، متر (Hach)، اسپکتروفوتومتر (METROHM 761 Compact (CECIL 2021)، یون کروماتوگراف (Marquis 250L/H) IC، پمپ هوادهی (Hailea) و پمپ شناور (Hailea).

جدول ۱: مشخصات رنگزای بازیک آبی ۴۱.

خواص	
۱۱۱۰۵	عدد کالرایندکس
C <sub>20</sub> H <sub>26</sub> N <sub>4</sub> O <sub>6</sub> S	فرمول مولکولی
۴۵۰ g/mol	وزن مولکولی
Bayer AG	شرکت سازنده
۶۰۰ nm	λ <sub>max</sub>



شکل ۱: ساختار شیمیایی رنگزای بازیک آبی ۴۱.

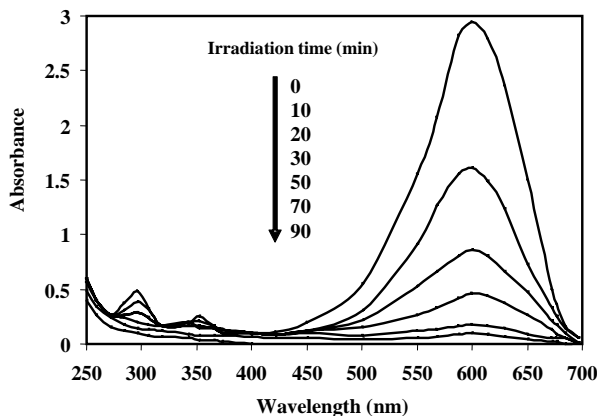
### روش‌های کار

در این تحقیق از فوتوراکتور کاتالیزوری مناسب دارای منبع نور فرابنفش (دو عدد لامپ فرابنفش ۱۵ وات) و نانوفوتوكاتالیست تیتانیا (دی‌اکسیدتیتانیم) استفاده شده است. نانوفوتوكاتالیست در جدار

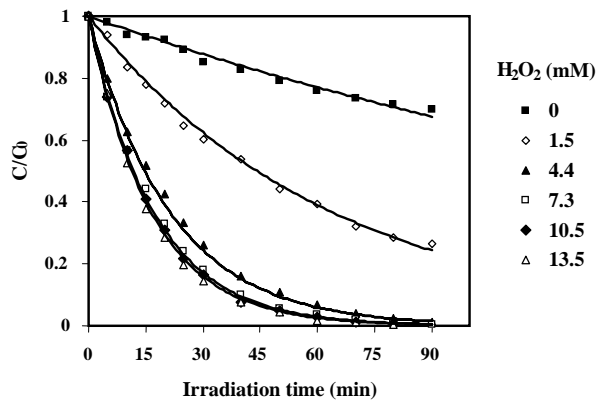
## ۱- مقدمه

تخیله پساب‌های رنگی و غیر رنگی صنایع مختلف مانند نساجی، کاغذ، آرایشی و بهداشتی، کشاورزی، پلاستیک و چرم معولات زیست‌محیطی شدیدی را به وجود می‌آورد. زیرا سیمی بودن برخی از رنگزاهای فقط سبب آسیب دیدن مناظر زیبای طبیعی نمی‌شوند بلکه به اکسیستهای آبی نیز ضرر می‌رسانند. برای مثال از نفوذ نور به داخل آب جلوگیری کرده و باعث مختل شدن فرآیند فوتوسنتز می‌گردد. در سال‌های اخیر، صنایع تحت فشار شدید مسؤولین و افکار عمومی قرار دارند تا پساب‌های خود را قبل از تخلیه به محیط‌های طبیعی، به نحو مطلوبی تصفیه نمایند. از این‌رو یافتن روش‌های مؤثر تصفیه امری ضروری و اجتناب‌ناپذیر است [۱-۶].

فرآیند نانوفوتوكاتالیزی با استفاده از نیمه‌هادی‌های نانوساختار مانند نانوذرات تیتانیا به عنوان گزینه‌ای مؤثر در تجزیه و معدنی شدن ترکیبات آلی ظاهر شده است. از مزایای این روش نسبت به سایر روش‌ها می‌توان به معدنی شدن کامل ترکیبات آلی، نداشتن معظل پسماند و انجام فرآیند در دما و فشار ملایم اشاره نمود [۱]. تحقیقات زیادی برای فهم فرآیندهای بنیادی و افزایش راندمان تجزیه فوتوكاتالیزی آلاینده‌ها به وسیله شیمیدانان، فیزیکدانان و مهندسان شیمی انجام شده و در حال انجام است [۲-۱۲]. نیمه‌هادی به دلیل ساختار الکترونی خود به عنوان تحریک‌کننده فرآیندهای ردوكس القا شده با نور عمل می‌کند که به وسیله نوار ظرفیت پر و نوار هدایت خالی مشخص می‌شود. وقتی فوتونی (hv) با انرژی برابر یا بیش از انرژی ظرفیت نواری (E<sub>g</sub>) نیمه‌هادی به آن بتابد یک الکترون از نوار ظرفیت به نوار هدایت منتقل شده و یک حفره در نوار ظرفیت بجا می‌گذارد. الکترون‌های نوار هدایت برانگیخته و حفرات نوار ظرفیت می‌توانند با هم ترکیب شده و انرژی آزاد نمایند و یا با الکترون دهنده‌ها و الکترون گیرنده‌های جذب شده روی سطح نیمه‌هادی، واکنش دهنند. حفره‌های نوار ظرفیت اکسید کنندهای قویی هستند که می‌توانند ترکیبات را به طور مستقیم اکسید نمایند یا با الکترون دهنده‌هایی مانند آب یا یون‌های هیدروکسید واکنش داده و رادیکال‌های هیدروکسیل تولید نمایند که این رادیکال‌ها سبب تجزیه آلاینده‌ها از جمله رنگزاهای می‌شوند. از ترکیبات الکترون گیرنده می‌توان به اکسیژن مولکولی اشاره نمود که با گرفتن الکترون به آنیون سوپراکسید تبدیل و در نهایت آنیون نیز می‌تواند رادیکال هیدروکسیل تولید نماید به همین دلیل در طول فرآیند رنگبری و تجزیه فوتوكاتالیزی آلاینده‌ها، محلول‌ها هوادهی می‌شوند. با افزایش مقداری آب اکسیژنه، سرعت فرآیند فوتوكاتالیزی افزایش می‌یابد. در طی فرآیند، آب اکسیژنه از طریق واکنش با آنیون سوپراکسید یا به وسیله فوتولیز مستقیم، رادیکال‌های هیدروکسیل تولید می‌کند. علاوه بر آن آب اکسیژنه می‌تواند مانند اکسیژن مولکولی از نوار هدایت



شکل ۲: تغییرات طیف‌های UV/Vis رنگزای بازیک آبی ۴۱ در فواصل زمانی مختلف تابش (غلظت رنگزا  $0.11 \text{ mM}$ ،  $\text{pH } 5/5$  و غلظت آب اکسیژنه  $7/3 \text{ mM}$ ).



شکل ۳: نمودار تغییرات کسر باقیمانده محلول رنگزا بر حسب زمان در طول موج  $600\text{nm}$  (غلظت رنگزا  $0.11 \text{ mM}$ ،  $\text{pH } 5/5$  و غلظت آب اکسیژنه  $7/3 \text{ mM}$ ).

جدول ۲: پارامترهای ثابت سرعت و ضریب همبستگی در فرآیند رنگبری در غلظت‌های مختلف آب اکسیژنه.

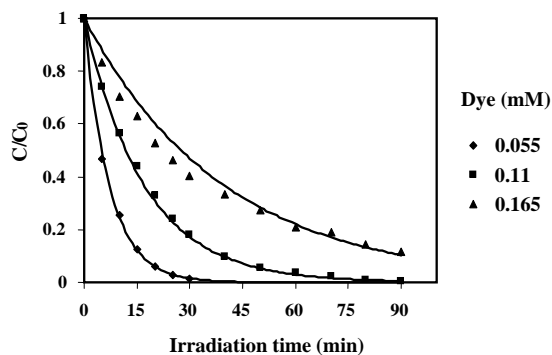
$\text{H}_2\text{O}_2 \text{ (mM)}$	$k \text{ (min}^{-1})$	$R^2$
.	$0.0043$	$0.981$
$1/5$	$0.0157$	$0.994$
$4/5$	$0.047$	$0.994$
$7/3$	$0.0588$	$0.993$
$10/5$	$0.0611$	$0.998$
$13/5$	$0.0620$	$0.995$

داخلی راکتور نشانده شده است [۱]. محلول‌های رنگی با حجم ۱۰ لیتر به داخل فوتوراکتور کاتالیزوری پمپ می‌شوند. از آب اکسیژنه با غلظت‌های مختلف به عنوان اکسیدکننده استفاده شده است. در طول فرآیند، محلول‌های مورد آزمایش هوادهی شده و در فواصل زمانی مختلف فرآیند فتوکاتالیزی، از محلول‌ها نمونه‌برداری صورت گرفته و طیف UV/Vis آنها با استفاده از دستگاه اسپکتروفوتومتر رسم گردید. میزان رنگبری رنگرا در طول موج ماگزیم (۶۰۰ nm) بررسی شد. از یون کروموفور آزو جذب قوی دارد. کروموفور در ناحیه مرئی و حلقه‌های آروماتیک موجود در ساختار رنگرا در ناحیه فرابنفش جذب می‌دهند. پس از گذشت مدتی از زمان فرآیند تصفیه، در حضور آب اکسیژنه محلول‌های رنگزای بازیک آبی ۴۱ کاملاً رنگبری می‌گردند (شکل ۲). غلظت آب اکسیژنه عامل کلیدی در رنگبری محلول‌های رنگی برحسب غلظت آلاینده و ساختار شیمیایی آن می‌باشد. همان‌طور که در شکل ۳ مشاهده می‌شود سرعت رنگبری محلول‌های رنگی با افزایش غلظت آب اکسیژنه از صفر تا  $7/3 \text{ mM}$  افزایش می‌یابد با این وجود در غلظت‌های بالاتر از  $7/3 \text{ mM}$  افزایش اندکی در سرعت رنگبری مشاهده می‌شود این روند را می‌توان به این صورت توضیح داد که در غلظت‌های بالاتر، آب اکسیژنه می‌تواند به عنوان از بین برندۀ رادیکال‌های هیدروکسیل عمل کرده و در نتیجه نمی‌توان انتظار داشت که با چند برابر شدن غلظت آن به همان نسبت نیز زمان رنگبری کاهش یابد. درصد بالای رنگبری را می‌توان به از بین رفتان کروموفور نسبت داد که عامل رنگی شدن محلول بوده و محل بسیار مناسبی برای حمله رادیکال‌های هیدروکسیل می‌باشد [۱، ۹]. به طور کلی، تمام جذب‌های موجود در ناحیه UV-Vis پس از اتمام فرآیند (۹۰ دقیقه فرآیند تصفیه، شکل ۲) ناپدید می‌شوند. این پدیده، تخریب کامل کروموفور (پیوندهای آزو) و حلقه‌های آروماتیک رنگزا را نشان می‌دهد. با توجه به شکل ۳ تغییرات غلظت رنگزا بر حسب زمان تابش در حضور غلظت‌های مختلف آب اکسیژنه به صورت نمایی می‌باشد. یعنی فرآیند رنگبری رنگزای بازیک آبی ۴۱ از مرتبه اول تبعیت می‌کند. ثابت‌های سرعت رنگبری و ضرایب همبستگی در جدول ۲ ارائه شده است.

### ۳- نتایج و بحث

#### ۳-۱- تأثیر غلظت آب اکسیژنه در فرآیند رنگبری

رنگزای بازیک آبی ۴۱ در ناحیه مرئی ( $\lambda_{\text{max}} = 600 \text{ nm}$ ) به دلیل وجود کروموفور آزو جذب قوی دارد. کروموفور در ناحیه مرئی و حلقه‌های آروماتیک موجود در ساختار رنگرا در ناحیه فرابنفش جذب می‌دهند. پس از گذشت مدتی از زمان فرآیند تصفیه، در حضور آب اکسیژنه محلول‌های رنگزای بازیک آبی ۴۱ کاملاً رنگبری می‌گردند (شکل ۲). غلظت آب اکسیژنه عامل کلیدی در رنگبری محلول‌های رنگی برحسب غلظت آلاینده و ساختار شیمیایی آن می‌باشد. همان‌طور که در شکل ۳ مشاهده می‌شود سرعت رنگبری محلول‌های رنگی با افزایش غلظت آب اکسیژنه از صفر تا  $7/3 \text{ mM}$  افزایش می‌یابد با این وجود در غلظت‌های بالاتر از  $7/3 \text{ mM}$  افزایش اندکی در سرعت رنگبری مشاهده می‌شود این روند را می‌توان به این صورت توضیح داد که در غلظت‌های بالاتر، آب اکسیژنه می‌تواند به عنوان از بین برندۀ رادیکال‌های هیدروکسیل عمل کرده و در نتیجه نمی‌توان انتظار داشت که با چند برابر شدن غلظت آن به همان نسبت نیز زمان رنگبری کاهش یابد. درصد بالای رنگبری را می‌توان به از بین رفتان کروموفور نسبت داد که عامل رنگی شدن محلول بوده و محل بسیار مناسبی برای حمله رادیکال‌های هیدروکسیل می‌باشد [۱، ۹]. به طور کلی، تمام جذب‌های موجود در ناحیه UV-Vis پس از اتمام فرآیند (۹۰ دقیقه فرآیند تصفیه، شکل ۲) ناپدید می‌شوند. این پدیده، تخریب کامل کروموفور (پیوندهای آزو) و حلقه‌های آروماتیک رنگزا را نشان می‌دهد. با توجه به شکل ۳ تغییرات غلظت رنگزا بر حسب زمان تابش در حضور غلظت‌های مختلف آب اکسیژنه به صورت نمایی می‌باشد. یعنی فرآیند رنگبری رنگزای بازیک آبی ۴۱ از مرتبه اول تبعیت می‌کند. ثابت‌های سرعت رنگبری و ضرایب همبستگی در جدول ۲ ارائه شده است.



شکل ۴: بررسی تأثیر غلظت رنگزا در فرآیند رنگبری pH ۵/۵ و غلظت آب اکسیژنه mM ۷/۳.

جدول ۳: پارامترهای ثابت سرعت و ضریب همبستگی در فرآیند رنگبری در غلظت‌های مختلف رنگزا.

غلظت رنگزا (mM)	غلظت رنگزا	$k (min^{-1})$	$R^2$
۰/۰۵۵	۰/۰۵۵	۰/۱۴۰۱	۰/۹۹۹
۰/۱۱	۰/۱۱	۰/۰۵۸۸	۰/۹۹۳
۰/۱۶۵	۰/۱۶۵	۰/۰۲۵۲	۰/۹۸۰

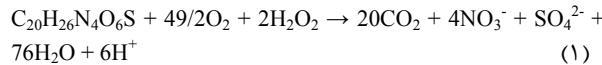
### ۳-۳- تأثیر آنیون‌های معدنی در فرآیند رنگبری

وجود یون‌های معدنی در پساب‌های رنگ صنایع نساجی متداول است. کلرید سدیم اثر پوششی روی بار سطحی لیف دارد و اتصال رنگزا به لیف را بهبود می‌بخشد. کربنات سدیم برای تنظیم pH حمام رنگ به کار می‌روند. نقش مهم این ترکیب، تثبیت مولکول‌های رنگزا روی الیاف و بهبود ثبات رنگ می‌باشد. بنابراین پساب صنایع نساجی حاوی مقادیر قابل ملاحظه‌ای از این آنیون‌ها می‌باشد. بنابراین بررسی تأثیر آنیون‌ها در کاریابی فرآیند رنگبری ضروری است [۹، ۱۰].

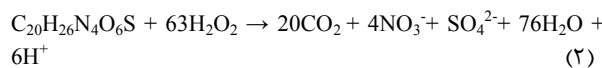
برای بررسی تأثیر آنیون‌ها در فرآیند رنگبری رنگزا بازیک آبی ۴۱ نمک‌های کلرید سدیم، نیترات سدیم، سولفات سدیم، بیکربنات سدیم و کربنات سدیم انتخاب شدند. مقادیر یکسانی از این آنیون‌ها (۱) در شرایط pH طبیعی و مقدار آب اکسیژنه mM ۷/۳ استفاده شدند. شکل ۵ اثر این آنیون‌ها در فرآیند رنگبری رنگزا بازیک آبی ۴۱ نشان می‌دهد. پارامترهای ثابت سرعت (k) و ضریب همبستگی ( $R^2$ ) فرآیند رنگبری در جدول ۴ نشان داده شده است.

همان‌طور که در شکل ۴ مشاهده می‌شود با افزایش غلظت رنگزا، ثابت سرعت رنگبری کاهش می‌یابد. با افزایش غلظت رنگزا، احتمال رقابت حدواتسطه‌های تشکیل شده در اثر تجزیه با مولکول‌های رنگزا مادر وجود دارد و این مزاحمت در مقادیر زیاد حدواتسطه‌های تولید شده در غلظت‌های اولیه بالای رنگزا افزایش می‌یابد [۱، ۹]. همچنین با توجه به اینکه مقدار mM ۷/۳ آب اکسیژنه به عنوان مقدار مطلوب برای mM ۱۱ از رنگزا تعیین شده است، با افزایش غلظت رنگزا و ثابت ماندن غلظت آب اکسیژنه تعداد رادیکال‌های هیدروکسیل تولید شده نیز ثابت باقی می‌ماند.

واکنش رنگزا بازیک آبی ۴۱ با آب اکسیژنه در حضور اکسیژن به صورت زیر می‌باشد:



بر اساس این معادله، از لحاظ تئوری ۲ مول آب اکسیژنه برای تجزیه کامل یک مول رنگزا کافی است. اما در این تحقیق نسبت مولی بهینه غلظت آب اکسیژنه به غلظت رنگزا ۷۳ می‌باشد که نسبت به مقدار تئوری (۲) خیلی زیاد است. در معادله (۱) اکسیژن نقش غالب را در تجزیه رنگزا دارد. اگر فرض کنیم که تنها آب اکسیژنه به عنوان اکسید کننده غالب استفاده شود مقدار آب اکسیژنه مورد نیاز ۶۳ مول برای یک مول رنگزا می‌باشد که در معادله (۲) ارائه شده است:

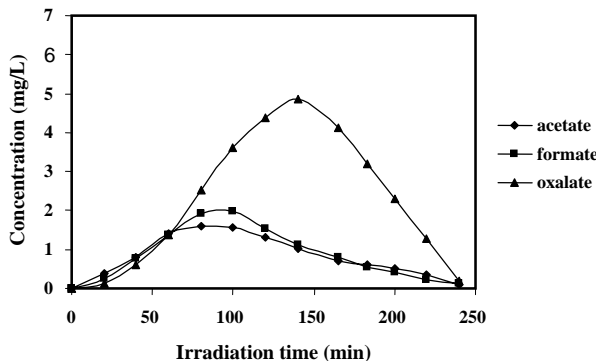


بنابراین مقدار بهینه تجربی به دست آمده (نسبت مولی بهینه غلظت آب اکسیژنه به غلظت رنگزا ۷۳) تنها مقداری بزرگ‌تر از مقدار تئوری نسبت مولی (۶۳) می‌باشد.

### ۳-۲- تأثیر غلظت رنگزا در فرآیند رنگبری

برای بررسی تأثیر غلظت رنگزا در فرآیند رنگبری، غلظت رنگزا بازیک آبی ۴۱ از ۰/۰۵۵ تا ۰/۱۶۵ میلی مولار تغییر داده شد در حالی که متغیرهای دیگر ثابت نگهداشته شدند (pH طبیعی ۵/۵ و آب اکسیژنه mM ۷/۳). شکل ۴ تغییرات کسر باقیمانده رنگزا ( $C/C_0$ ) که غلظت اولیه رنگزا و C<sub>0</sub> غلظت رنگزا در زمان t می‌باشد را برای غلظت‌های اولیه مختلف رنگزا (۰/۰۵۵ mM، ۰/۱۱ mM و ۰/۱۶۵ mM) نشان می‌دهد. نمایی بودن روند تغییرات بیانگر پیروزی فرآیند رنگبری رنگزا بازیک آبی ۴۱ از سینتیک مرتبه اول می‌باشد. ثابت‌های سرعت رنگبری و ضرایب همبستگی در جدول ۳ ارائه شده است.

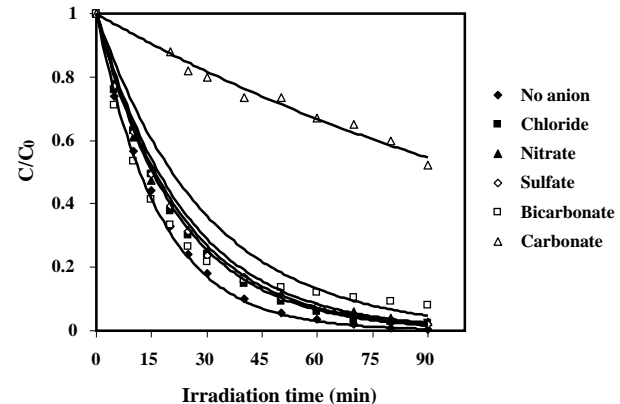
همان‌طور که در شکل ۴ مشاهده می‌شود با افزایش غلظت رنگزا، ثابت سرعت رنگبری کاهش می‌یابد. با افزایش غلظت رنگزا، احتمال رقابت حدواتسطه‌های تشکیل شده در اثر تجزیه با مولکول‌های رنگزا مادر وجود دارد و این مزاحمت در مقادیر زیاد حدواتسطه‌های تولید شده در غلظت‌های اولیه بالای رنگزا افزایش می‌یابد [۱، ۹]. همچنین با توجه به اینکه مقدار mM ۷/۳ آب اکسیژنه به عنوان مقدار مطلوب برای mM ۱۱ از رنگزا تعیین شده است، با افزایش غلظت رنگزا و ثابت ماندن غلظت آب اکسیژنه تعداد رادیکال‌های هیدروکسیل تولید شده نیز ثابت باقی می‌ماند.



شکل ۶: روند تولید و تجزیه اسیدهای کربوکسیلیک در طی فرآیند رنگبری و معدنی شدن رنگزای (غلظت رنگزای آبی ۱۱ mM، pH ۵/۵، غلظت آب اکسیژنه ۳/۷ mM).

اسیدهای کربوکسیلیک در ابتدای واکنش در اثر تجزیه مولکول‌های رنگزای مادر و حدواسطهای آروماتیک، تولید شده و با گذشت زمان به دی‌اسید کربن و آب تبدیل می‌شوند. همچنین تولید آنیون‌های معدنی در محلول ناشی از معدنی شدن رنگزای بازیک آبی ۴۱ می‌باشد. هتروماستهای موجود در مولکول رنگزای مانند گوگرد و نیتروژن در طول فرآیند معدنی شدن به بزرگترین درجه اکسیداسیون یعنی سولفات و نیترات تبدیل می‌شوند [۱۲، ۹، ۱].

استوکیومتری کلی معدنی شدن رنگزای بازیک آبی ۴۱ در مدت زمان ۲۴۰ دقیقه در معادله (۲) نشان داده شده است. روند تولید آنیون‌های سولفات و نیترات در اثر معدنی شدن رنگزای در شکل ۷ ارائه شده است. مقدار آنیون‌های سولفات و نیترات بتدریج افزایش یافته و به مقدار حد اکثر می‌رسند. همان طور که در شکل ۷ مشاهده می‌شود مقدار یون سولفات آزاد شده (۰/۰۹ mM) از مقدار مورد انتظار استوکیومتری (۱۱ mM) کمتر است علت این پدیده را می‌توان به جذب سطحی برگشت‌ناپذیر یون‌های سولفات در سطح کاتالیست نسبت داد. هرجند این مقدار جزوی جذب سطحی شده اثر بازدارندگی بر فعالیت کاتالیست ندارد. همچنین مقدار نیترات آزاد شده (۰/۳۵ mM) از مقدار مورد انتظار استوکیومتری (۰/۴۴ mM) کمتر است (شکل ۷). این پدیده به جذب سطحی نیترات در سطح کاتالیست برمی‌گردد و احتمالاً مقداری از نیتروژن به  $N_2$  و یا  $NH_3$  تبدیل شده و وارد فاز گاز می‌شود. یادآوری می‌شود در پیوند آزو، هر اتن نیتروژن دارای درجه اکسیداسیون  $+1$  می‌باشد. این درجه اکسیداسیون برای آزاد شدن گاز  $N_2$  طی دو مرحله متوالی مناسب است. آزاد شدن گاز  $N_2$  حالت ایده‌آل واکنش آلودگی‌زدی با محصولات حاوی نیتروژن بی‌ضرر می‌باشد [۹].



شکل ۵: بررسی تأثیر یون‌های معدنی در فرآیند رنگبری رنگزای (غلظت رنگزای آبی ۱۱ mM، pH ۵/۵، غلظت آب اکسیژنه ۳/۷ mM) و غلظت آنیون ۱ mM.

جدول ۴: پارامترهای ثابت سرعت و ضریب همبستگی در فرآیند رنگبری در حضور آنیون‌های معدنی مختلف.

آنیون	$k$ ( $min^{-1}$ )	$R^2$
بدون آنیون	۰/۰۵۸۸	۰/۹۹۳
سولفات	۰/۰۴۱۳	۰/۹۹۸
کلرید	۰/۰۴۵۶	۰/۹۹۰
نیترات	۰/۰۴۱۳	۰/۹۹۰
بیکربنات	۰/۰۳۳۸	۰/۷۸۸
کربنات	۰/۰۰۶۷	۰/۹۷۵

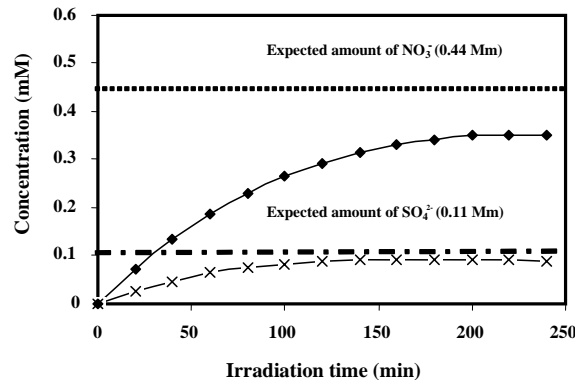
لازم به یادآوری است که آنیون رادیکال‌های حاصل از واکنش رادیکال‌های هیدروکسیل با آنیون‌ها (واکنش گیراندزی)، واکنش پذیری کمتری نسبت به رادیکال‌های هیدروکسیل دارند. به هر حال توجیه تأثیر آنیون‌ها در فرآیند رنگبری به دلیل مکانیسم‌های مختلف واکنش مانند واکنش رادیکال‌های هیدروکسیل با آنیون‌ها، اکسیداسیون مستقیم به وسیله حفرات مثبت در سطح کاتالیست و واکنش آنیون رادیکال‌ها با خود آنیون‌ها، مشکل است.

### ۳-۴- فرآیند معدنی شدن رنگزای بازیک آبی ۴۱

در طی فرآیند تجزیه رنگزای، حدواسطهای گوناگونی تولید می‌شوند در نتیجه تجزیه رنگزای به عنوان یک فرآیند کلی تجزیه شامل تجزیه مولکول‌های مادر رنگزای و حدواسطهای تولید شده در نظر گرفته می‌شود. هیدروکسیل‌اسیون بیشتر حدواسطهای آروماتیک به شکستن حلقه‌های آروماتیک و تشکیل ترکیبات آلیاتیک اکسیژن دار می‌شود [۱۱، ۱]. در این تحقیق، اسیدهای کربوکسیلیک فرمیک، استیک و اگزالیک به عنوان حدواسطهای مهم در تجزیه رنگزای بازیک آبی ۴۱ مشاهده شدند (شکل ۶).

## ۵- مراجع

- N. M. Mahmoodi, M. Arami, Bulk phase degradation of Acid Red 14 by nanophotocatalysis using immobilized titanium (IV) oxide nanoparticles. *J. Photochem. Photobiol. A: Chem.* 182(2006), 60–66.
- M. A. Behnajady, N. Modirshahla, N. Daneshvar, M. Rabbani, Photocatalytic degradation of an azo dye in a tubular continuous-flow photoreactor with immobilized TiO<sub>2</sub> on glass plates. *Chem. Eng. J.* 127(2007), 167–176.
- J. Saini, A. R Soleymani, Degradation and mineralization of Direct Blue 71 in a circulating upflow reactor by UV/TiO<sub>2</sub> process and employing a new method in kinetic study. *J. Hazard. Mater.* 144(2007), 506–512.
- T. Robinson, B. Chandran, P. Nigam, Removal of dyes from a synthetic textile dye effluent by biosorption on apple pomace and wheat straw. *Water Res.* 36(2002), 2824–2830.
- D. Mohan, K. P. Singh, G. Singh, G. Singh, K. Kumar, Removal of dyes from wastewater using flyash, a low-cost adsorbent. *Ind. Eng. Chem. Res.* 41(2002), 3688–3695.
- P. Nigam, G. Armour, I. M. Banat, D. Singh, R. Marchant, Physical removal of textile dyes and solid state fermentation of dye-adsorbed agricultural residues. *Bioresour. Technol.* 72(2000), 219–226.
- K. R. Ramakrishna, T. Viraraghavan, Dye removal using low cost adsorbents. *Water Sci. Technol.* 36(1997), 189–196.
- M. R. Hoffmann, S. T. Martin, W. Choi, D. W. Bahnemann, Environmental applications of semiconductor photocatalysis. *Chem. Rev.* 95(1995), 69–96.
- I. K. Konstantinou, T. A. Albanis, TiO<sub>2</sub>-assisted photocatalytic degradation of azo dyes in aqueous solution: kinetic and mechanistic investigations - a review. *Appl. Catal. B: Environ.* 49(2004), 1–14.
- I. Arsalan-Alaton, A review of the effects of dye-assisting chemicals on advanced oxidation of reactive dyes in wastewater. *Color. Technol.* 119(2003), 345–353.
- K. Tanaka, S. M. Robledo, T. Hisanaga, R. Ali, Z. Ramli, W. A. Bakar, Photocatalytic degradation of 3,4-xylyl *N*-methylcarbamate (MPMC) and other carbamate pesticides in aqueous TiO<sub>2</sub> suspensions. *J. Mol. Catal. A: Chem.* 144 (1999), 425–30.
- A. Houas, H. Lachheb, M. Ksibi, E. Elaloui, C. Guillard, J. M. Hermann, Photocatalytic degradation pathway of Methylene Blue in Water. *Appl. Catal. B: Environ.* 31(2001), 145–157.



شکل ۷: روند تولید یون‌های سولفات و نیترات در طی فرآیند رنگبری و معدنی شدن رنگزا (غلظت رنگزا  $11 \text{ mM}$ ، pH  $5/5 \text{ mM}$  و غلظت آب اکسیژنه  $7/3 \text{ mM}$ )

## ۴- نتیجه‌گیری

در این تحقیق رنگبری و معدنی شدن رنگزای بازیک آبی  $41 \text{ mL}$  با فرآیند نانوفوتکاتالیزی با استفاده از نانوذرات تیتانیا در مقیاس پایلوت ( $10 \text{ لیتر}$ ) بررسی شد. فرآیند رنگبری و معدنی شدن با موفقیت انجام شد. سرعت رنگبری رنگزا با افزایش غلظت آب اکسیژنه از صفر تا  $7/3 \text{ mM}$  افزایش یافته و سپس تغییرات سرعت رنگبری ناچیز است. سینتیک رنگبری از مرتبه اول تبعیت می‌کند. بررسی اثر آنیون‌های معدنی (کلرید، نیترات، سولفات، کربنات و بیکربنات) بر فرآیند رنگبری نشان داد که کربنات بیشترین تأثیر بازدارندگی را دارد. تثبیت نانوذرات تیتانیا بر روی بستر مناسب، معضل فیلتراسیون را حل می‌کند. از این رو، این روش را می‌توان برای تصفیه حجم‌های زیادی از محلول‌های رنگی استفاده نمود. می‌توان نتیجه گرفت که فرآیند تصفیه فوتکاتالیزوری قادر است رنگزای بازیک آبی  $41 \text{ mL}$  را به مواد معدنی مانند آب، دی‌اکسیدکربن و اسیدهای معدنی تبدیل نماید بدون این که به فشار یا حرارت بالا نیاز باشد.